

DAFTAR ISI

KATA PENGANTAR	i
RINGKASAN.....	iii
SUMMARY	iv
DAFTAR ISI	v
DAFTAR TABEL.....	x
DAFTAR GAMBAR	xii
DAFTAR LAMPIRAN.....	xv
BAB I PENDAHULUAN	1
1.1. Latar Belakang	1
1.2. Identifikasi Masalah	3
1.3. Rumusan Masalah	3
1.4. Batasan Masalah	4
1.5. Tujuan Penelitian	5
1.6. Manfaat Penelitian	5
BAB II TINJAUAN PUSTAKA	6
2.1. Pasir.....	6
2.1.1. Karakteristik Tanah Pasir	6
2.1.2. Klasifikasi Pasir Berdasarkan <i>Unified (U.S.C.S)</i>	7
2.1.3. Kepadatan Relatif Pasir	9
2.2. Geosintetik	9
2.3. Geogrid.....	10
2.3.1. Jenis Geogrid	11
2.3.2. Karakteristik Geogrid Sebagai Bahan Perkuatan	11
2.3.3.1 Kekuatan Tarik	11
2.3.3.2 Interaksi antara Tanah dengan Geogrid.....	12

2.4. Geogrid sebagai Material Perkuatan Tanah	12
2.4.1. Penambahan Lapisan Geogrid	13
2.4.2. Pengaruh Jarak Antar Lapisan Geogrid.....	14
2.4.3. Pengaruh Lebar Geogrid	14
2.5. Mekanisme Kerja Geogrid pada Tanah	15
2.6. Pondasi Dangkal	16
2.6.1. Tegangan Kontak	16
2.6.2. Pola Keruntuhan di Bawah Pondasi	17
2.7. Teori Daya Dukung Pondasi	19
2.7.1. Pengertian Daya Dukung Pondasi	19
2.7.2. Solusi Meyerhof	19
2.7.3. Solusi Hansen dan Vesic	22
2.8. <i>Bearing Capacity Improvement (BCI)</i>	23
2.9. Kriteria Penentuan Beban Ultimit.....	24
2.10.Penurunan	25
BAB III METODE PENELITIAN	27
3.1. Waktu dan Tempat.....	27
3.2. Alat dan Bahan Penelitian.....	27
3.3. Jumlah dan Perlakuan Benda Uji	29
3.4. Metode Penelitian	30
3.4.1. Pengujian Dasar.....	30
3.4.2. Persiapan Benda Uji	30
3.4.3. Model Tes Lereng	31
3.4.4. Pengujian Pembebanan.....	32
3.5. Metode Analisis Data.....	33
3.6. Variasi Penelitian	35
3.7. Bagan Alir Tahapan Penelitian	36

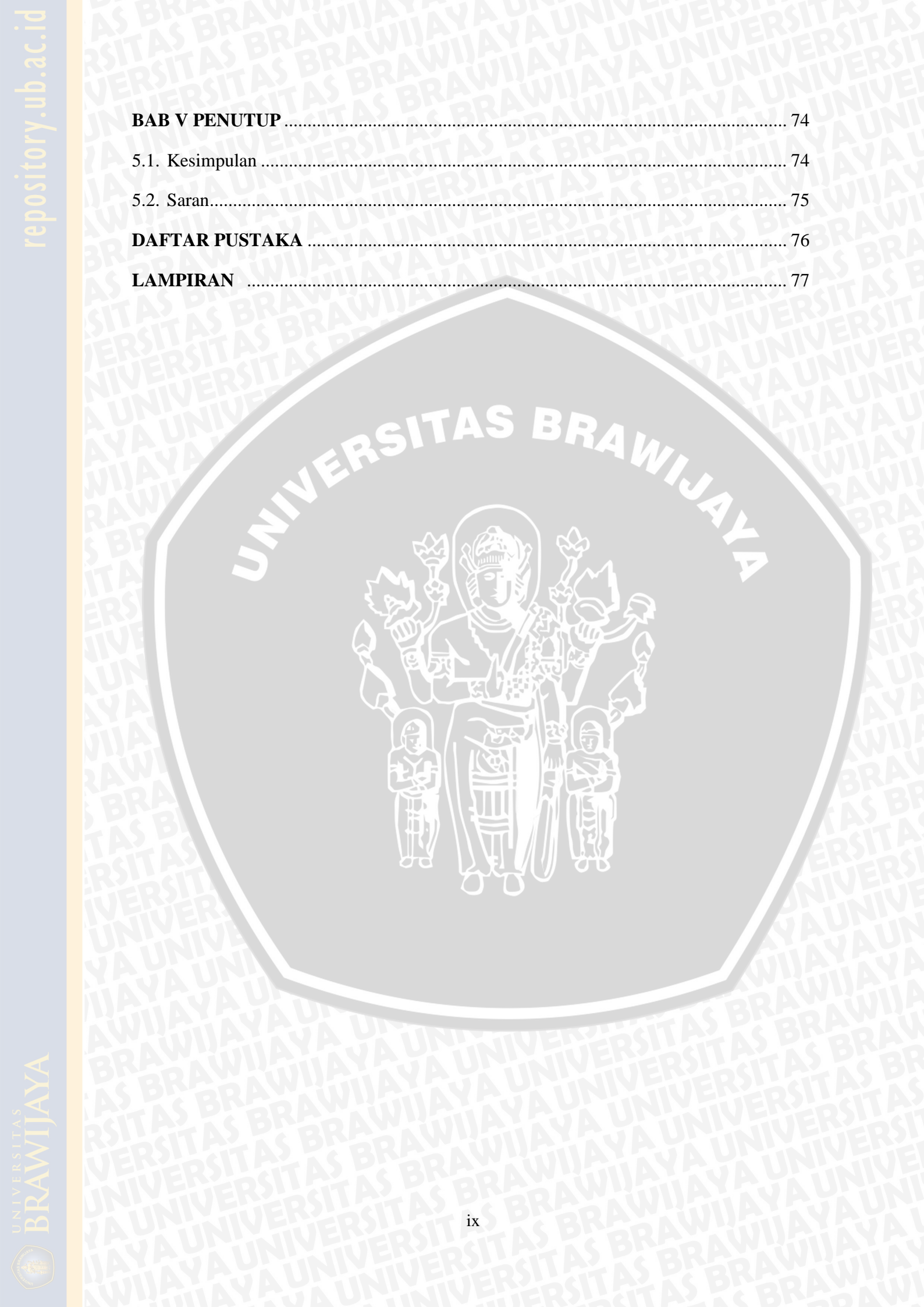
BAB IV PEMBAHASAN	40
4.1. Analisis Bahan	40
4.1.1. Analisis Gradasi Butiran Tanah.....	41
4.1.2. Analisis Specific Gravity.....	42
4.1.3. Analisis Pemeriksaan Kepadatan Tanah (<i>Compaction</i>)	42
4.1.3.1. Kepadatan Tanah Standar di Laboratorium (<i>Proctor Test</i>)	42
4.1.3.2. Kepadatan Tanah Model.....	43
4.1.4. Analisis Kuat Geser Langsung (<i>Direct Shear</i>)	44
4.2. Pengujian <i>Model Test</i>	45
4.3. Hasil Pengujian <i>Model Test</i>	46
4.3.1. Pondasi Tanpa Perkuatan.....	46
4.3.1.1. Hasil Pemeriksaan Kepadatan dan Kadar Air	46
4.3.2. Pondasi Dengan Perkuatan Geogrid	47
4.3.2.1. Hasil Pemeriksaan Kepadatan dan Kadar Air	48
4.4. Analisis Daya Dukung Tanah Pasir RC 85%	48
4.4.1. Pondasi Tanpa Perkuatan.....	48
4.4.1.1. Metode Analitik	48
4.4.1.2. Metode Eksperimen	49
4.4.2. Pondasi Dengan Perkuatan Geogrid	51
4.5. Analisis Penurunan Tanah Pasir RC 85%	52
4.5.1. Pondasi Tanpa Perkuatan.....	52
4.5.1.1. Penurunan Pondasi tanpa Perkuatan pada Variasi Sudut Kemiringan	52
4.5.2. Tanah Pasir Dengan Perkuatan Geogrid.....	53
4.5.2.1. Penurunan Pondasi dengan Perkuatan pada Variasi rasio d/B terhadap Lebar pondasi	53
4.5.2.1.1.Lebar Pondasi (B) = 6 cm.....	53
4.5.2.1.2.Lebar Pondasi (B) = 8 cm.....	54



4.5.2.1.3. Lebar Pondasi (B) = 10 cm.....	55
4.5.2.2. Penurunan Tanah dengan Perkuatan pada Variasi rasio Lebar Pondasi terhadap Variasi rasio d/B	56
4.5.2.2.1. Rasio d/B = 0	56
4.5.2.2.2. Rasio d/B = 0,5	57
4.5.2.2.3. Rasio d/B = 1	58
4.6. Perbandingan Hubungan Daya Dukung dan Penurunan antara Tanah Pasir Tanpa Perkuatan dengan Tanah Pasir yang Menggunakan Perkuatan Geogrid	60
4.6.1. Perbandingan Hubungan Daya Dukung dan Penurunan Pondasi Tanpa Pekuan dengan Pondasi yang Menggunakan Perkuatan Geogrid pada Variasi Lebar Pondasi	60
4.6.1.1. Lebar Pondasi (B) = 6 cm.....	60
4.6.1.1.1. Rasio d/B = 0	60
4.6.1.1.2. Rasio d/B = 0,5	61
4.6.1.1.3. Rasio d/B = 1	62
4.6.1.2. Lebar Pondasi (B) = 8 cm.....	63
4.6.1.2.1. Rasio d/B = 0	63
4.6.1.2.2. Rasio d/B = 0,5	64
4.6.1.2.3. Rasio d/B = 1	65
4.6.1.3. Lebar Pondasi (B) = 10 cm.....	66
4.6.1.3.1. Rasio d/B = 0	66
4.6.1.3.2. Rasio d/B = 0,5	67
4.6.1.3.3. Rasio d/B = 1	68
4.7. Analisis <i>Bearing Capacity Improvement</i> berdasarkan Data Dukung Ultimit (BCIu) .69	
4.7.1. Perbandingan BCIu pada Variasi Lebar Pondasi terhadap Rasio d/B.....	69
4.7.2. Perbandingan BCIu pada Variasi Rasio d/B terhadap Lebar Pondasi.....	70
4.8. Analisis Peningkatan Nilai Daya Dukung pada Pondasi Tanpa Perkuatan dengan Pondasi yang Menggunakan Perkuatan Geogrid	71
4.9. Pengaruh Lebar Pondasi dan Rasio d/B terhadap Nilai Daya Dukung.....	72



BAB V PENUTUP	74
5.1. Kesimpulan	74
5.2. Saran.....	75
DAFTAR PUSTAKA	76
LAMPIRAN	77



UNIVERSITAS BRAWIJAYA



DAFTAR TABEL

No.	Judul	Halaman
Tabel 2.1	Rentang Ukuran Partikel	6
Tabel 2.2	Sistem Klasifikasi Tanah Berbutir Kasar USCS	8
Tabel 2.3	Faktor-Faktor Bentuk Pondasi.....	21
Tabel 2.4	Faktor Kedalaman Pondasi.....	21
Tabel 2.5	Faktor-Faktor Kemiringan Beban	22
Tabel 3.1	Daya Dukung dan Penurunan Pondasi Dangkal tanpa Perkuatan	33
Tabel 3.2	Daya Dukung dan Penurunan Pondasi dengan Perkuatan Geogrid Menggunakan Variasi Rasio d/B.....	33
Tabel 3.3	Daya Dukung dan Penurunan Pondasi Dangkal dengan Perkuatan Geogrid Menggunakan Variasi Lebar Pondasi.....	34
Tabel 3.4	<i>Bearing Capacity Improvement (BCI)</i> untuk Variasi Lebar Pondasi dan Jumlah Rasio d/B.....	35
Tabel 4.1	Tipe Geogrid.....	40
Tabel 4.2	Rata-Rata Spesific Gravity Pasir	42
Tabel 4.3	Tinggi Benda Uji Berdasarkan Faktor Kedalaman Pondasi (d/B)	45
Tabel 4.4	Matriks Pengujian.....	46
Tabel 4.5	Nilai Kadar Air dan Berat Isi Kering Tanah Pasir Tanpa Perkuatan	47
Tabel 4.6	Nilai Kadar Air dan Berat Isi Kering Tanah Pasir Dengan Perkuatan	48
Tabel 4.7	Nilai Daya Dukung Analitik Untuk Tanah Pasir Tanpa Perkuatan.....	48
Tabel 4.8	Nilai Daya Dukung Berdasarkan Eksperimen Untuk Pondasi Tanpa Perkuatan	49
Tabel 4.9	Nilai Daya Dukung Berdasarkan Eksperimen untuk Perkuatan Tanah Pasir Dengan Variasi Lebar Pondasi (B).....	51
Tabel 4.10	Nilai Daya Dukung Berdasarkan Eksperimen untuk Perkuatan Tanah Pasir Dengan Variasi Rasio d/B	51
Tabel 4.11	Nilai BCI _u untuk Variasi Lebar Pondasi.....	69

Tabel 4.12	Nilai BCIu untuk Variasi Rasio d/B	70
Tabel 4.13	Peningkatan Daya Dukung Tanah Pasir	71
Tabel 4.14	Peningkatan Daya Dukung antara Variasi Rasio d/B	72
Tabel 4.15	Peningkatan Daya Dukung antara Variasi Lebar Pondasi (B)	72



DAFTAR GAMBAR

No.	Judul	Halaman
Gambar 2.1	Klasifikasi Geosintetik	10
Gambar 2.2	Geogrid Biaksial.....	11
Gambar 2.3	Diagram Kuat Tarik Geogrid	12
Gambar 2.4	Pengaruh Rasio Jumlah Lapis Geogrid Terhadap Daya Dukung	13
Gambar 2.5	Hubungan z/B vs BCR	14
Gambar 2.6	Pengaruh Rasio Panjang Geogrid (b/B) Terhadap Daya Dukung	14
Gambar 2.7	Mekanisme Kerja Geogrid	15
Gambar 2.8	Tegangan Kontak Akibat Beban Aksial Eksentris	17
Gambar 2.9	Macam Keruntuhan Pondasi	18
Gambar 2.10	Keruntuhan Daya Dukung Meyerhof	19
Gambar 2.11	Jenis-Jenis Keruntuhan Tanah Akibat Beban Sehubungan Dengan Pondasi	25
Gambar 3.1	Alat-Alat yang Digunakan dalam Penelitian.....	28
Gambar 3.2	Model Tes Percobaan Tanpa Perkuatan Geogrid	29
Gambar 3.3	Model Tes Percobaan Dengan Perkuatan Geogrid	29
Gambar 3.4	Model box penelitian.....	38
Gambar 3.5	Contoh susunan pembebanan	33
Gambar 3.6	Bagan Alir Penelitian	37
Gambar 4.1	Hasil pembagian ukuran butiran tanah.....	41
Gambar 4.2	Grafik pemedatan standar.....	43
Gambar 4.3	(a) Hubungan antara tegangan geser dan regangan geser; (b) Hubungan antara tegangan geser dan tegangan normal	44
Gambar 4.4	Pemodelan Tanah Pasir tanpa Perkuatan.....	46
Gambar 4.5	Pemodelan Tanah Pasir dengan Perkuatan.....	47



Gambar 4.6 Perbandingan nilai daya dukung pada model pondasi tanpa perkuatan berdasarkan metode eksperimen.....	50
Gambar 4.7 Hubungan qu dan penurunan pada model pondasi tanpa perkuatan	53
Gambar 4.8 Hubungan qu dan penurunan pada model pondasi dengan lebar pondasi 6 cm, $u/B = 0,5$, dan $n= 2$	54
Gambar 4.9 Hubungan qu dan penurunan pada model pondasi dengan lebar pondasi 8 cm, $u/B = 0,5$, dan $n= 2$	55
Gambar 4.10 Hubungan qu dan penurunan pada model pondasi dengan lebar pondasi 10 cm, $u/B = 0,5$, dan $n= 2$	56
Gambar 4.11 Hubungan qu dan penurunan pada model pondasi dengan rasio $d/B = 0$, $u/B = 0,5$, dan $n= 2$	57
Gambar 4.12 Hubungan qu dan penurunan pada model pondasi dengan rasio $d/B = 0,5$; $u/B = 0,5$, dan $n= 2$	58
Gambar 4.13 Hubungan qu dan penurunan pada model pondasi dengan rasio $d/B = 1$, $u/B = 0,5$, dan $n= 2$	59
Gambar 4.14 Hubungan qu dan penurunan pada model pondasi tanpa perkuatan dan dengan perkuatan lebar pondasi 6 cm pada rasio $d/B = 0$, $u/B = 0,5$; $n = 2$	60
Gambar 4.15 Hubungan qu dan penurunan pada model pondasi tanpa perkuatan dan dengan perkuatan lebar pondasi 6 cm pada rasio $d/B = 0,5$; $u/B = 0,5$; $n = 2$	61
Gambar 4.16 Hubungan qu dan penurunan pada model pondasi tanpa perkuatan dan dengan perkuatan lebar pondasi 6 cm pada rasio $d/B = 1$, $u/B = 0,5$; $n = 2$	62
Gambar 4.17 Hubungan qu dan penurunan pada model pondasi tanpa perkuatan dan dengan perkuatan lebar pondasi 8 cm pada rasio $d/B = 0$, $u/B = 0,5$; $n = 2$	63
Gambar 4.18 Hubungan qu dan penurunan pada model pondasi tanpa perkuatan dan dengan perkuatan lebar pondasi 8 cm pada rasio $d/B = 0,5$; $u/B = 0,5$; $n = 2$	64



Gambar 4.19 Hubungan qu dan penurunan pada model pondasi tanpa perkuatan dan dengan perkuatan lebar pondasi 8 cm pada rasio $d/B = 1$; $u/B = 0,5$; $n = 2..$	65
Gambar 4.20 Hubungan qu dan penurunan pada model pondasi tanpa perkuatan dan dengan perkuatan lebar pondasi 10 cm pada rasio $d/B = 0$; $u/B = 0,5$; $n = 2$	66
Gambar 4.21 Hubungan qu dan penurunan pada model pondasi tanpa perkuatan dan dengan perkuatan lebar pondasi 10 cm pada rasio $d/B = 0,5$; $u/B = 0,5$; $n = 2$	67
Gambar 4.22 Hubungan qu dan penurunan pada model pondasi tanpa perkuatan dan dengan perkuatan lebar pondasi 10 cm pada rasio $d/B = 1$; $u/B = 0,5$; $n = 2$	68
Gambar 4.23 Perbandingan nilai BCI _u untuk variasi Lebar Pondasi	69
Gambar 4.24 Perbandingan nilai BCI _u untuk variasi rasio d/B	70



DAFTAR LAMPIRAN

No	Judul	Halaman
Lampiran 1.	Analisis Gradasi Butir Tanah	77
Lampiran 2.	Analisis <i>Specific Gravity</i> Tanah	78
Lampiran 3.	Analisis Uji Geser Langsung (<i>Direct Shear</i>).....	81
Lampiran 4.	Analisis Uji Pemadatan Standar (ASTM D-698-70 METODE B).....	83
Lampiran 5.	Pengujian Kadar Air dan Kepadatan Pasir	86
Lampiran 6.	Rekapitulasi Data Daya Dukung dan Penurunan Berdasarkan Eksperimen96	
Lampiran 7.	Perhitungan Daya Dukung Lereng tanpa Perkuatan dengan Metode Analitik	122
Lampiran 8.	Dokumentasi Penelitian	143





UNIVERSITAS BRAWIJAYA

